

Helmholtz's náložky

f-mód: nové uvedy' polohu \odot

$$\omega^2 = g k_0 = \frac{GM_0}{R_0^3} \frac{\sqrt{l(l+1)}}{R_0}$$

$$\Rightarrow R_0 = \left[\frac{\sqrt{l(l+1)} GM_0}{\omega^2} \right]^{1/3}$$

máme $\omega = \omega(l)$, R_0 tedy fátem s ktr závislosti.

$$R_{\text{reson}} \approx 695,69 \text{ km}$$

$$R_{\text{opt}} \approx 695,99 \text{ km}$$

0,34 km nejsoučasně nepravidelné modely podporující konstrukce - ovlivňuje disperziu' relaci

Durallin' zákon

rezonanční podmínka pro p-mody

$$\int_{r_t}^{R_0} k_r dr = \pi(u+\alpha) = \int_{r_t}^{R_0} \left[\frac{\omega^2}{c^2} - \frac{l(l+1)}{r^2} \right]^{1/2} dr \quad * \frac{1}{\omega}$$

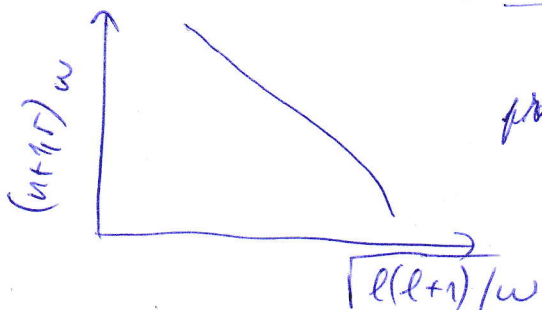
$$\int_{r_t}^{R_0} \left(\frac{r^2}{c^2} - \frac{l(l+1)}{\omega^2} \right)^{1/2} dr = \frac{\pi(u+\alpha)}{\omega}$$

$$\text{zároveň můžeme } \frac{\sqrt{l(l+1)}}{\omega} \quad \frac{R_0}{r_t} = \sqrt{l(l+1)}$$

\Rightarrow integrand málo je funkce $\frac{\omega}{\sqrt{l(l+1)}}$

$$\mathcal{F} \left[\frac{l(l+1)}{\omega} \right] = \frac{\pi(u+\alpha)}{\omega}$$

\Rightarrow 2-D disperziu' relace pro $\omega = \omega(u, l)$ lze vypočítat
na 1-D místu mimo povrch $\frac{\sqrt{l(l+1)}}{\omega}$ a $\frac{u+\alpha}{\omega}$
 \Rightarrow Durallin' zákon



pro $l \approx 0 - 250$

Inverzni' učinak

→ podstavom najit količice sljedećim mrežama, jer su razlike uveljavljene novi upostavljeni a slijednjim putem jednostavnije.

$$c \rightarrow c + \delta c \leftarrow \text{perturbacija na vrijednosti značajki}$$

$$\omega \rightarrow \omega + \delta \omega \leftarrow \text{perturbacija na fiksne vrijednosti}$$

$$\int_{\frac{L}{c}}^{\frac{R}{c}} \left[\frac{(w + \delta w)^2}{(c + \delta c)^2} - \frac{\ell(\ell+1)}{r^2} \right]^{1/2} dr = \pi (u + \alpha)$$

$$\ell(\ell+1) = L^2$$

pozovi prole $\frac{\partial \omega}{\omega}$, podstaviti prole $\frac{\partial c}{c}$, potom se stegnati po mreži

$$\delta \omega : \left[\left(\frac{\omega + \delta \omega}{\omega} \right)^2 - \frac{L^2}{r^2} \right]^{1/2} = \left[\frac{\omega^2}{c^2} \left(1 + \frac{\delta \omega}{\omega} \right)^2 - \frac{L^2}{r^2} \right]^{1/2} = \sqrt{(1+x^2)r^2 + \delta \omega \omega}$$

$$= \left[\frac{\omega^2}{c^2} \left(1 + \frac{2\delta \omega}{\omega} \right) - \frac{L^2}{r^2} \right]^{1/2} = \left[\frac{\omega^2}{c^2} - \frac{L^2}{r^2} + \frac{2\delta \omega \omega}{c^2} \right]^{1/2} =$$

$$= \sqrt{\frac{\omega^2}{c^2} - \frac{L^2}{r^2}} \left[1 + \frac{\frac{2\delta \omega \omega}{c^2}}{\frac{\omega^2}{c^2} - \frac{L^2}{r^2}} \right]^{1/2} = \sqrt{1+x^2} \approx 1 + \frac{x}{2} =$$

$$= \sqrt{\frac{\omega^2}{c^2} - \frac{L^2}{r^2}} + \frac{\frac{\delta \omega \omega}{c^2}}{\sqrt{\frac{\omega^2}{c^2} - \frac{L^2}{r^2}}} = A + \frac{\frac{\delta \omega \omega}{c^2}}{\omega^2 \left(1 - \frac{L^2 c^2}{r^2 \omega^2} \right)^{1/2}} =$$

A

$$= A + \frac{\delta \omega}{c} \frac{1}{\left(1 - \frac{L^2 c^2}{r^2 \omega^2} \right)^{1/2}}$$

$$\delta c : \left[\left(\frac{w}{c + \delta c} \right)^2 - \frac{L^2}{r^2} \right]^{1/2} = \left[\frac{w^2}{c^2} \frac{1}{(1 + \frac{\delta c}{c})^2} - \frac{L^2}{r^2} \right]^{1/2} =$$

$$= \left[\frac{w^2}{c^2} \frac{1}{1 + \frac{2\delta c}{c}} - \frac{L^2}{r^2} \right]^{1/2} = \left| \frac{1}{1+x} \approx 1-x \right| =$$

$$= \left[\frac{w^2}{c^2} \left(1 - \frac{2\delta c}{c} \right) - \frac{L^2}{r^2} \right]^{1/2} = \left[\frac{w^2}{c^2} - \frac{L^2}{r^2} - \frac{2\delta c w^2}{c^3} \right]^{1/2} =$$

$$= \sqrt{\frac{w^2}{c^2} - \frac{L^2}{r^2}} \left(1 - \frac{\frac{2\delta c w^2}{c^3}}{\frac{w^2}{c^2} - \frac{L^2}{r^2}} \right)^{1/2} = \left| \sqrt{1-x^2} \approx 1 - \frac{x}{2} \right| =$$

$$= \sqrt{\frac{w^2}{c^2} - \frac{L^2}{r^2}} - \frac{\partial c}{c} \frac{w^2}{c^2} \frac{1}{\frac{w}{c} \sqrt{1 - \frac{L^2 c^2}{r^2 w^2}}} = A - \frac{\partial c}{c} \frac{w}{c} \frac{1}{\sqrt{1 - \frac{L^2 c^2}{r^2 w^2}}}$$

porovnat

$$\int_{r_E}^{R_0} \left[A + \frac{\partial w}{c} \frac{1}{(1 - \frac{L^2 c^2}{r^2 w^2})^{1/2}} \right] dr = \int_{r_E}^{R_0} \left[A - \frac{\partial c}{c} \frac{w}{c} \frac{1}{\sqrt{1 - \frac{L^2 c^2}{r^2 w^2}}} \right] dr$$

$$\int_{r_E}^{R_0} \frac{\partial w}{c} \frac{1}{(1 - \frac{L^2 c^2}{r^2 w^2})^{-1/2}} dr = - \int_{r_E}^{R_0} \frac{\partial c}{c} \frac{w}{c} \frac{1}{(1 - \frac{L^2 c^2}{r^2 w^2})^{-1/2}} dr$$

$$\frac{\partial w}{w} \cdot \int_{r_E}^{R_0} \frac{1}{c} \frac{1}{\sqrt{1 - \frac{L^2 c^2}{r^2 w^2}}} dr = - \int_{r_E}^{R_0} \frac{\partial c}{c} \frac{1}{c} \frac{1}{\sqrt{1 - \frac{L^2 c^2}{r^2 w^2}}} dr$$

\rightarrow T... nejpravidelný Hankel-fórmu

$$\frac{\partial w}{w} = - \frac{1}{4\pi} \int_{r_E}^{R_0} \frac{\partial c}{c} \frac{1}{c} \frac{1}{\sqrt{1 - \frac{L^2 c^2}{r^2 w^2}}} dr$$

kernel $K_{\partial c}$

primitivní sound-speed perturbace
podle paprsků

je to travel-wave?

kanz paprsků: extenzivní charakter

$$\vec{N}_g = \frac{\partial \vec{r}}{\partial t} = \frac{\partial \vec{w}}{\partial \vec{k}}$$

$$\text{radialní: } \frac{dr}{dt} = \frac{\partial w}{\partial k_r}$$

$$\text{vlnná: } r \frac{d\vec{v}}{dt} = \frac{\partial w}{\partial k_r}$$

dispersivní char. $w^2 = c^2 (k_r^2 + k_h^2) + w_c^2$, $w_c^2 \ll w^2$

gal: ~~$\partial t = \frac{dr}{dr}$~~

$$\frac{dr}{dt} = \frac{\partial w}{\partial k_r} = \frac{\partial}{\partial k_r} \left(c \sqrt{k_r^2 + k_h^2} \right) = c \frac{1}{2\sqrt{k_r^2 + k_h^2}} \cdot 2k_r = \frac{c^2 k_r}{w}$$

$$\Rightarrow dt = dr \frac{\omega}{c^2} \frac{1}{k_r} = dr \frac{\omega}{c^2} \frac{1}{\sqrt{\frac{\omega^2 - L^2 c^2}{r^2}}} = dr \frac{\omega}{c^2} \frac{1}{\frac{\omega}{c} \sqrt{1 - \frac{L^2 c^2}{\omega^2 r^2}}} =$$

$$= \frac{dr}{c} \frac{1}{\sqrt{1 - \frac{L^2 c^2}{\omega^2 r^2}}}$$

$$T = \int_{r_0}^{R_0} dt = \int_{r_0}^{R_0} \frac{1}{c} \frac{dr}{\sqrt{1 - \frac{L^2 c^2}{\omega^2 r^2}}}$$

C.B.D.

romice pro paprsk:

$$\boxed{r \frac{d\varphi}{dr} = \frac{\partial \omega}{\partial k_r} / \frac{\partial \omega}{\partial k_L} = \frac{k_r}{k_L} = \frac{\frac{L}{f}}{\sqrt{\frac{\omega^2}{c^2} - \frac{L^2}{r^2}}}}$$

popisuje trajektorie sluz v paprsku

aproximaci:

$$\frac{dw}{w} = - \frac{1}{T} \int_{r_0}^{R_0} \frac{dc}{c} K_c(l, \omega) dr$$

je integrace analyticky

abelova integralka romice

\rightarrow inverse reakce z veden

(asymptoticka)

alternativi:

hard wave $\text{HWR} \stackrel{\omega}{=} \int_{k_L}^{k_0} \frac{1}{c} \frac{dr}{\sqrt{1 - \frac{L^2 c^2}{\omega^2 r^2}}} ; c = c(\varphi_k)$

$\varphi = \{p, \vec{s}, \vec{v}, \vec{J}, \dots\}$

medine trahime s pozorovaniem priemnosnostiam

$\mathcal{P}(k, \omega) \dots$ mediem

$F_\alpha(k, \omega) \dots$ filtre

$$\psi(\mathbf{k}, \omega) = F_\omega(\mathbf{k}, \omega) \delta(\mathbf{k}, \omega) \quad \text{je fiktivna' kroka}$$

cross-covariance:

$$C(\vec{x}_1, \vec{x}_2, t) = \frac{4\epsilon}{T-|t|} \sum_{t'} \psi(\vec{x}_1, t') \psi(\vec{x}_2, t'+t) = \\ = \int_0^T dt' \psi(\vec{x}_1, t') \psi(\vec{x}_2, t'+t)$$

$T \dots$ doba pozorovani'

$$-\frac{T}{2} \leq t' \leq \frac{T}{2}$$

jistou se měří $\tau_a^\circ \dots$ pozorovací trval. času,
kdy je $C(x_1, x_2, t)$ maximální

žež $\chi = \frac{1}{2} \sum_a (\frac{\tau_a - \tau_a^\circ}{\delta \tau})^2 \dots$ můžete mít
pozorovatku a
modelku \rightarrow minimizujte

$$\delta \chi = \sum_a (\tau_a - \tau_a^\circ) \frac{\partial \tau_a}{\partial q_x} \delta q_x$$

$\underline{\mathcal{L}_x^a(\vec{x}, q_x)} \dots$ je kernel
Fréchetova derivace

Obecne,

formule $w^2 \vec{q}_x = \vec{Z}(q_x) \quad \vec{q}_x \dots$ vektor parametrů

\hookrightarrow jedinec závisí na fiktivních r. pozorov.

\hookrightarrow slasku' problém

našel jde q_x^* a interpolaci píšeme

$$w^2 \int_0^1 q_x^* \cdot q_x d^3r = \int_0^1 q_x^* \cdot Z(q_x) d^3r$$

$$\Rightarrow w^2 = \frac{\int_0^1 q_x^* \cdot Z(q_x) d^3r}{\int_0^1 q_x^* \cdot q_x d^3r}$$

sluečný parametry jsou r. Z (tak mítíme
stabilitu), jedinec jsou slasku' sítka \vec{q}_x
pozitivních model \rightarrow směru' se jedinec

mala' pomeze: $\tilde{\omega}(q_x) = \tilde{\omega}_0(q_x) + \tilde{\omega}_1(q_x)$

$$\text{ted } \omega^2 + \delta\omega^2 = \frac{\int_0 d^3r q_x^* \cdot \tilde{\omega}(q_x)}{\int_0 q_x^* \cdot q_x d^3r} =$$

$$= \frac{\int_0 d^3r q_x^* \cdot \tilde{\omega}_0(q_x)}{\int_0 q_x^* \cdot q_x d^3r} + \frac{\int_0 d^3r q_x^* \cdot \tilde{\omega}_1(q_x)}{\int_0 q_x^* \cdot q_x d^3r}$$

$$\Rightarrow \delta\omega^2 = \frac{\int_0 d^3r q_x^* \tilde{\omega}_1(q_x)}{\int_0 q_x^* \cdot q_x d^3r}$$

$$I \dots \text{mode mass} \quad I = \int_0 d^3r q_x^* \cdot q_x$$

$$2\omega_0 \delta\omega = \frac{\int_0 d^3r q_x^* \cdot \tilde{\omega}_1(q_x)}{I} \quad /: 2\omega_0^2$$

$$\frac{\delta\omega}{\omega_0} = \frac{\int_0 d^3r q_x^* \tilde{\omega}_1(q_x)}{2\omega_0^2 I}$$

$\tilde{\omega}_1$ je siuba ekvivalent formulat \rightarrow stopen' n pronadnych

$$\Rightarrow \frac{\delta\omega}{\omega} = \int_0 d^3r \left[\underbrace{\lambda_p}_{\text{wsuwka' jadra}} \frac{\partial \phi}{\rho} + \underbrace{K_{C^2}}_{\text{wzrostek' jadra}} \frac{\partial e^2}{e^2} + \underbrace{\lambda_N^2}_{\text{wzrostek' jadra}} \cdot \frac{\partial N}{N} + \dots \right]$$

Jak počítat jádra?

formulat:

$$\text{dva páry pronadnych: např. } \vec{X} = \left(\frac{\partial \phi}{\partial \rho}, \frac{\partial \phi}{\partial r} \right), \vec{Y} = \left(\frac{\partial \phi}{\partial \rho}, \frac{\partial Y}{\partial r} \right)$$

$$M = \frac{\rho}{\rho}$$

mechanická strukturní rovnice (hydrostatiská rovnice, stereová rovnice)

$$A \vec{X} = \vec{Y}$$

pokud \vec{K}_X a \vec{K}_Y jsou jenž pro X a Y

$$\frac{\delta w}{w} = \int_0^r \vec{K}_X \cdot \vec{X} d^3 r = \langle \vec{K}_X \cdot \vec{X} \rangle$$

podobně $\frac{\delta w}{w} = \langle \vec{K}_Y \cdot \vec{Y} \rangle$ aplikujeme na
místní stavy

$$\langle \vec{K}_Y \cdot \vec{Y} \rangle = \langle K_Y \cdot A \vec{X} \rangle = \langle A^* K_Y \cdot \vec{X} \rangle$$

A^* ... sítová matice

je to rovná $\langle \vec{K}_X \cdot \vec{X} \rangle$

$$\langle A^* K_Y \cdot \vec{Y} \rangle = \langle \vec{K}_X \cdot \vec{X} \rangle$$

$$\Rightarrow \underline{A^* K_Y = \vec{K}_X}$$

rovnice pro jedna jenž sítovou rovnici
šetří

podobně pro time-distance:

forwards,

$$\delta v^\alpha(r) = \int_0^r d^2 r' dz \sum_{\beta=1}^P K_\beta^\alpha(r-r', z) \delta q_\beta(r', z) + v^\alpha(r)$$

kovariacioní matice řešení: $K_{ab}(r_i - r_j) = \text{cov}[v^\alpha(r_i) v^\beta(r_j)]$

$$\cancel{\text{Tr}}[K_{ab}] = \sigma_a^2$$

inverze: RLS (regularized least squares)

$$F^2 = \sum_{\alpha} \frac{1}{\sigma_\alpha^2} \left[\delta v^\alpha - \int_0^r d^2 r' dz \sum_{\beta} K_\beta^\alpha \delta q_\beta \right]^2 + \rho L(q_\alpha)$$

↑ regularization

operator

$$(uapř. L = (q_\alpha)^2)$$

$$\text{nebo } L = \left(\frac{\partial^2 q_\alpha}{\partial z^2} \right)^2 \dots$$

minimizace: $\frac{\partial F^2}{\partial q_\alpha} \dots$ soustava rovnic

OLA -.. Optimally localized averaging

Medialne widmo:

$$\delta q_\alpha^{loc}(r_0, z_0) = \sum_i \sum_\alpha w_\alpha^\alpha(r_i - r_0, z_0) \delta \bar{v}^\alpha(r_0)$$

$$= \int_0 d^2 r' dz \sum_B \left[\sum_{i, \alpha} w_\alpha^\alpha(r_i - r_0; z) K_B^\alpha(r' - r_i, z) \right] \delta \bar{q}_B(r', z) + \sum_{i, \alpha} w_\alpha^\alpha(r_i - r_0; z_0) h^\alpha(r_i)$$

definicja: $\chi_B^\alpha(r_i, z_i; z_0) = \sum_j \sum_\alpha w_\alpha^\alpha(r_i; z_0) K_B^\alpha(r_i + r_j, z)$

$\nabla \chi_B^\alpha(r_i, z_i; z_0)$ $\nabla \in P$

\hookrightarrow minimizacj. problem

pol

$$\delta q_\alpha^{loc}(r_i; z_0) = \int_0 d^2 r' dz \chi_\alpha^\alpha(r' - r_i; z; z_0) \delta \bar{q}_\alpha(r'; z) + \int_0 d^2 r' dz \sum_{B, B \neq \alpha} \chi_B^\alpha(r' - r_i; z; z_0) \delta \bar{q}_B(r', z) + \sum_{i, \alpha} w_\alpha^\alpha(r_i - r_0; z_0) h^\alpha(r_i)$$

pozdejsze generalizacj. fukcji:

$$\chi_\alpha(w^\alpha, \mu) = \int_0 d^2 r dz \sum_B [\chi_B^\alpha - J_B^\alpha]^2 + \mu \sum_{i, j, a, b} w_\alpha^\alpha \lambda_{ab} w_b^\alpha$$

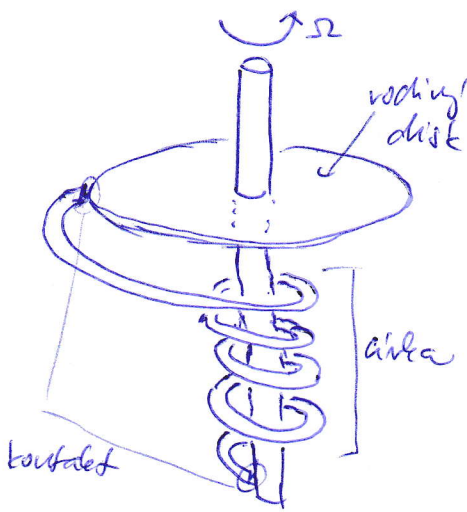
rezem': $\frac{\partial \chi_\alpha}{\partial w^\alpha} \stackrel{!}{=} 0$ ~~$\frac{\partial \chi_\alpha}{\partial w^\alpha} = 0$~~

lewo dokazat, zle: $\Omega_\alpha^2 = \sum_{a, b, i, j} w_\alpha^\alpha(r_i) \lambda_{ab}(r_i - r_j) w_b^\alpha(r_j)$

+ constraints $\int_0 d^2 r dz \chi_B^\alpha = \delta_{B\alpha}$

\hookrightarrow przyj. punkt Lagrangejch mnożników

Homopolar' dynamik



rotieren teile prozent $I(t)$
um $I(t)$ bei rotieren?

mag. pole bauen' prozent tot $\theta = MI$

M ... induktanz dräht a dosen

rotare = verlust E

$$E = \frac{d\theta}{dt} = \underbrace{\frac{\Omega}{2\pi}}_{n} \theta = \frac{\Omega}{2\pi} MI$$

$$\text{pro prozent } L \frac{dI}{dt} + RI = E = \frac{\Omega}{2\pi} MI$$

$$\text{verlust } I(t) = I_0 e^{\frac{-Rt}{L}}$$

$$n = \frac{1}{L} \left(\frac{M}{2\pi} \Omega - R \right) \quad \begin{matrix} L \dots \text{induktanz} \\ \text{airly} \end{matrix}$$

unlust pro $\Omega > 0$

$$\Rightarrow \Omega > \frac{2\pi R}{M}$$

\Rightarrow rydala' rotoren = generace prozent

Mean-field dynamik

$$\frac{\partial B}{\partial t} = \nabla \times (\mathbf{r} \times \mathbf{B}) + \gamma \Delta \mathbf{B} = \nabla \times [\mathbf{r} \times \mathbf{B} - \gamma \nabla \times \mathbf{B}]$$

definujeme: $B = \langle B \rangle + b \leftarrow$ fluktuation
 \hookrightarrow ström'

$$\mathbf{r} = \langle \mathbf{r} \rangle + \mathbf{w} \quad \langle \mathbf{w} \rangle = 0$$

$$\text{dosisatz: } \frac{\partial}{\partial t} (\langle B \rangle + b) = \nabla \times [(\langle \mathbf{w} \rangle + \mathbf{w}) \times (\langle \mathbf{B} \rangle + b) - \gamma \nabla \times (\langle \mathbf{B} \rangle + b)]$$

ström' datt: (strömrichtung \uparrow)

$$\frac{\partial}{\partial t} \langle \mathbf{B} \rangle = \nabla \times [\langle \mathbf{r} \rangle \times \langle \mathbf{B} \rangle + \langle \mathbf{w} \times \mathbf{b} \rangle - \gamma \nabla \times \langle \mathbf{B} \rangle]$$

fluktuující. (= průsdek - stranu)

$$\frac{\partial}{\partial t} b = \nabla \times [\langle n \rangle \times b + w \times \langle B \rangle + w \times b - \langle w \times b \rangle - g \nabla \times b]$$

definujeme: $E = \langle w \times b \rangle$

$$G = w \times b - \langle w \times b \rangle$$

→ elektrodér pole vystřízený fluktuujícím
dáním.

uvádí: $b \propto \langle B \rangle \sim \text{lineární relace}$

$E \propto b \sim \text{lineární relace}$

$\Rightarrow E \propto \langle B \rangle$ by mohlo byt lineární

tak: $E = \alpha \langle B \rangle - \beta \nabla \times \langle B \rangle + \dots$

pro isotropní turbulenci: $\alpha = \frac{1}{3} \langle w \cdot \nabla \times w \rangle T$

$$\beta = \frac{1}{3} \langle w \cdot w \rangle T$$

t... korelace dán

$w \cdot \nabla \times w \dots$ binární ulovce

$$\Rightarrow \frac{\partial \langle B \rangle}{\partial t} = \nabla \times [\underbrace{\langle v \rangle \times \langle B \rangle}_{\text{z effect}} + \underbrace{\alpha \langle B \rangle}_{\text{z effect}} - (E + \beta) \nabla \times \langle B \rangle]$$

$E + \beta = g_t \dots$ turbulenta vibrace

α -effect → toroidální → poloidální

ω -effect → poloidální → toroidální

α : problém:

odhad: $\alpha = \Theta l \quad \checkmark$ net význam

↳ slouč. díle

ze dle ulovce a dáním mimo (vzdlož opač.)

mimořad: $\alpha = \frac{\langle w \times b \rangle \cdot \langle B \rangle}{B_H^2} \quad$ externí konstanta
pole (stav)

$$\alpha \in \langle \sim \text{m/s}, \sim 100 \text{ m/s} \rangle$$

Skvrny

konečnáho toku supergranulem:



normálka: výška rozpadu: $\sim \frac{d^2}{\ell}$ \leftarrow difuzní
stříma' jde o adveku k obřímu $\frac{\ell}{w}$ (Heldy)
d... velikost elementu, l... vzdálost supergrana

$$D = \frac{d^2}{\ell} = \frac{\ell}{w} \Rightarrow d^2 = \frac{\ell w}{w} = \frac{\ell^2}{R_w}$$

Leng. Reynoldsovo číslo

odhad konečnoraných polí: cely' pozadují řešení
se koncentrací do elementu.

$$B_0 \ell^2 = B d^2$$

$$\Rightarrow B = \frac{B_0 \ell^2}{d^2} = \frac{B_0 \ell^2}{\ell^2/R_w} = R_w B_0$$

char. číslo: $\ell = 30 \text{ km}$, $R_w = 10^4$, $B_0 \sim 0,16$, $w \sim 300 \text{ m/s}$
 $\Rightarrow d = 300 \text{ km}$, $B \sim 10^3 \text{ G} \leftarrow$ lze stvořit skvamu

$$T = \frac{\ell}{w} = 10^5 \text{ s} \approx 1 \text{ den}$$

proto formu: koncentrace se zákonem vyvýšením
zlepší.

$$\frac{B}{2 \rho w} \sim \frac{\rho w^2}{2} \Rightarrow B \sim \sqrt{\rho \varphi} w$$

pro fosofitu: $\varphi = 3 \times 10^{-4} \text{ kg/m}^3$
 $w \sim 300 \text{ m/s}$

$$\Rightarrow \underline{B \sim 60 \text{ G}}$$

\Rightarrow nelze stvořit skvamu, musí se ji naši

Konvektivní kolaps

- vertikální mg. frakce: adiabatický výkon/temperatura
 \rightarrow materiál v trubce ohladující \rightarrow poslouží ke
 polohy dolu ...

$$\left| \begin{array}{c} p_i \\ \int r \\ B \end{array} \right| \quad \text{vodoradka}, \quad P = p_i + \frac{B^2}{2\mu} \\ \text{polyt. rov.: } \frac{\partial r}{\partial t} + r \frac{\partial r}{\partial x} + \cancel{f} \frac{\partial P}{\partial x} = 0$$

$$B \quad \frac{\partial r}{\partial t} + \frac{\partial}{\partial x} \left(\frac{1}{2} r^2 + \cancel{P} - \frac{B^2}{2\mu} \right) = 0$$

mechanické char. vodoradky \Rightarrow integraci po x osu
tubice: $\int_{x_1}^{x_2} \dots dx = \langle \dots \rangle$

$$\text{máme stac. sde } \Rightarrow \frac{\partial}{\partial t} \langle r \rangle = 0$$

$$\Rightarrow \langle P + \frac{1}{2} \cancel{f} r^2 - \frac{B^2}{2\mu} \rangle = \text{kons} = \langle p_i \rangle$$

$$\text{tedy } \langle \frac{B^2}{2\mu} \rangle = \langle P \rangle + \frac{1}{2} \langle \cancel{f} r^2 \rangle - \langle p_i \rangle$$

\Rightarrow us. pole může mít jinou hodnotu než v tubice

detašování: kolap stabilitu pro pole $> 0,9 T$

Magnetická reprezentačnost

\rightarrow horizontální tubice v KZ bez polty

$$P_e = p_i + \frac{B^2}{2\mu} \quad \text{vodoradka} \quad \frac{p_i, f_i}{p_e, P_e} \rightarrow B_0$$

$$P = \frac{RT}{\mu} \quad , \mu = 1$$

$$\Rightarrow \Delta T (f_e - f_0) = \frac{B_0^2}{2\mu} \quad ; \quad p_i < f_e \dots \text{reprezentačnost silou } (f_e - f_0) \text{ g}$$

pokud je reprezentační síla větší než sile tubice \rightarrow

\rightarrow reprezentativní

$$\text{Lorentsova síla: } f_L = j \times B = \frac{(\nabla \times B) \times B}{\mu} = \underbrace{\frac{(B \cdot \nabla) B}{\mu}}_{\text{síla}} - \underbrace{\frac{\nabla B^2}{2\mu}}_{\text{působení silou}}$$

$$\frac{(B \cdot \sigma) B}{\rho e} \sim \frac{B_0^2}{\rho e} \quad \dots \text{d - char. relevant perturbace, } \\ \text{perturbace, } (f_c - f_s) g > \left(\frac{B_0^2}{\rho e} \right) \uparrow \text{numerically stable}$$

$$(f_c - f_s) g > \frac{2 \alpha T (f_c - f_s)}{l}$$

$$\Rightarrow l > \frac{2(\alpha T)}{g} = 2 H_p$$

$$\frac{dp}{dr} = -fg = +\frac{1}{\rho} \frac{dp}{dr} = +\frac{dH_p}{dr} = -\frac{P}{H_p}$$

$$f = \alpha T \Rightarrow \frac{P}{\rho g} = \frac{\alpha T}{g} = H_p$$

tedy polece perturbace dost velka \rightarrow turbule
perturbaciu a nevyřešit

das ignoruji. $T \approx \frac{1}{C_A}$, A - vložba

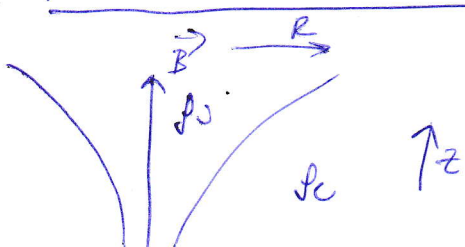
pro 10 kg turbule může být k z.

$$(P = 200 \text{ kg/m}^3, d = 200 \text{ Mm})$$

$T \approx 2$ může (ca klesá k pravici, takže dle, T spíše ne)

polece $T > T_{\text{krit}}$ může ovlivnit konvergenci
silou, deflekcii k rovnici
stálemu

MHS model sloumy



$$B = B(R)$$

$$\max(B) = B_0 = B(R=0)$$

$$B(R \rightarrow \infty) = 0$$

$$f_i = f_i(z)$$

$$f_e = f_e(z)$$

r Wobec normálky: $p_e(R, z) + B^2(R)/2\mu = p_e(z)$

$$\frac{\partial p}{\partial t} = -f_e(z) g$$

prí R → ∞: $\frac{dp_e}{dz} = -f_e(z) g \leftarrow$

prí R = 0: $p_e(z) + \frac{B_0^2}{2\mu} = f_e(z)$

$$\frac{dp_e}{dz} = -f_e(z) g \leftarrow$$

diferenciavanie: $\frac{dp_e}{dz} = \frac{dp_e}{dt} \quad \text{protože } u \approx B = 0 \text{ je } B \text{ konst}$
 $\rightarrow f_e = p_e$

dalej: $p_0 < p_e, p_w \quad p = \frac{p_e}{\mu} \quad \mu = 1$

$$p_i + \frac{B_0^2}{2\mu} = p_e$$

$$\frac{p_i}{p_e} + \frac{B_0^2}{2\mu p_e} = 1 \quad \text{dodávame starovou tiež.}$$

$$\underbrace{\frac{T_i(z)}{T_e(z)}}_{= 1 - \frac{B_0^2}{2\mu p_e(z)}}$$

v matici obvykle $\frac{B_0^2}{2\mu} \geq p_e(z) \quad (\text{obecne})$

diferenciavanie:

$$\frac{2B_0(z)}{2\mu} \frac{dB_0(z)}{dt} \frac{dp_e}{dz}$$

$$\text{prí } \frac{dp_e}{dz} < 0 \Rightarrow \frac{dB_0(z)}{dt} < 0$$

funkcia výšky má odvahuje,
protože $\theta = \int B_0 dz = \text{konst.}$

~~$$\cancel{\frac{d\theta}{dt} = \cancel{\int \frac{dB_0}{dt} dz} = \text{konst}}$$~~

~~$$\frac{d\theta}{dt} = \cancel{\theta} = \cancel{\int \frac{dB_0}{dt} dz}$$~~

protože $p_i + \frac{B_0^2}{2\mu} = p_e$ kladne!

$$\frac{dp_e}{dt} = \frac{dp_e}{dz} - \frac{2B_0}{2\mu} \frac{dB_0}{dz}$$

$\Rightarrow \frac{dp_e}{dt} > \frac{dp_e}{dz}$ ale pre $\frac{dp_e}{dz} < 0 \approx \frac{dp_e}{dt} < 0$
 \Rightarrow matici mazose (funkcia je výška dle výšky)

DOPNOVÁ MA ENERGIE

$$MHD: \frac{\partial p}{\partial t} + \nabla \cdot (\rho \mathbf{v}) = 0$$

$$\int \frac{d\mathbf{v}}{dt} = \int \left[\frac{\partial \mathbf{v}}{\partial t} + (\mathbf{v} \cdot \nabla) \mathbf{v} \right] = -\nabla p + j \times \mathbf{B}$$

$$\int \left[\frac{du}{dt} + p \frac{d}{dt} \left(\frac{1}{j} \right) \right] = Q - L$$

~~Maxwell's eq~~ Maxwell's eq

$$\mathbf{j} = \sigma (\mathbf{E} + \mathbf{v} \times \mathbf{B})$$

$$\text{adiabatic: } dU: U = \frac{P}{(\gamma-1)\rho} \quad \begin{array}{l} Q \dots \text{heating} \\ L \dots \text{cooling} \end{array}$$

$$\rightarrow M \cdot ()$$

$$\underbrace{\int M \cdot \frac{d\mathbf{v}}{dt}}_{\frac{d}{dt} \left(\frac{1}{2} M v^2 \right)} = -M \cdot \nabla p + \underbrace{M \cdot j \times B}_{N \cdot j \times B}$$

$$N \cdot j \times B = j \cdot B \times v = -j \cdot \underbrace{(v \times B)}_{\mathbf{v} \times \mathbf{B} = \frac{1}{\mu} - \mathbf{E}}$$

$$\Rightarrow N \cdot j \times B = \underbrace{j \cdot E}_{\frac{1}{\mu} - E} - \frac{j^2}{\mu}$$

$$j \cdot E = |j| = \frac{1}{\mu} \mathbf{v} \times \mathbf{B} = \frac{1}{\mu} \mathbf{v} \cdot (\nabla \times \mathbf{B}) \cdot \mathbf{E} = \dots$$

$$\begin{aligned} \nabla \cdot (\mathbf{E} \times \mathbf{B}) &= -\nabla \cdot (\mathbf{E} \times \mathbf{B}_c) - \nabla \cdot (\mathbf{E}_c \times \mathbf{B}) = \\ &= -\mathbf{B}_c \cdot (\nabla \times \mathbf{E}) + \mathbf{E}_c \cdot (\nabla \times \mathbf{B}) = \\ &= -\mathbf{B} \cdot (\nabla \times \mathbf{E}) + \underbrace{\mathbf{E} \cdot (\nabla \times \mathbf{B})} \end{aligned}$$

$$\dots = \frac{1}{\mu} \mathbf{B} \cdot \underbrace{(\nabla \times \mathbf{E})}_{-\frac{\partial \mathbf{B}}{\partial t}} - \frac{1}{\mu} \nabla \cdot (\mathbf{E} \times \mathbf{B}) = -\frac{1}{\mu} \mathbf{B} \cdot \frac{\partial \mathbf{B}}{\partial t} - \frac{1}{\mu} \nabla \cdot (\mathbf{E} \times \mathbf{B}) = -\frac{1}{2\mu} \frac{\partial \mathbf{B}^2}{\partial t} - \frac{1}{\mu} \nabla \cdot (\mathbf{E} \times \mathbf{B})$$

$$\text{takdy} \rightarrow \frac{d}{dt} \left(\frac{1}{2} M v^2 \right) = -M \cdot \nabla p - \frac{j^2}{\mu} - \frac{1}{\mu} \nabla \cdot (\mathbf{E} \times \mathbf{B}) - \frac{1}{2\mu} \frac{\partial \mathbf{B}^2}{\partial t}$$

$$\frac{\partial}{\partial t} \left(\frac{1}{2} M v^2 \right) + \nabla \cdot \left(M \frac{1}{2} M v^2 \right) = -M \cdot \nabla p - \frac{j^2}{\mu} - \frac{1}{\mu} \nabla \cdot (\mathbf{E} \times \mathbf{B}) - \frac{\partial}{\partial t} \left(\frac{\mathbf{B}^2}{2\mu} \right)$$

$$\frac{\partial}{\partial t} \left(\frac{1}{2} M v^2 + \frac{\mathbf{B}^2}{2\mu} \right) + \nabla \cdot \left(\frac{1}{2} M v^2 + \frac{1}{\mu} \mathbf{E} \times \mathbf{B} \right) = -M \cdot \nabla p - \frac{j^2}{\mu}$$

Poynting flux joule/m² = J/m²

Tedy celková energie se může psát ($-n \cdot \nabla P$), jenž obsahuje teplou a potenciální energii ($\frac{1}{2} \rho n^2 r + \frac{1}{\mu} E \times B$)

energetická rovnice

$$\rho \frac{d\omega}{dt} + \nabla \cdot \mathbf{v} = Q - L$$

$$\rho v \left(\frac{\partial}{\partial r} \right) \frac{P}{(\gamma-1)\rho}$$

~~$$\rho \frac{dV}{dt} + \nabla \cdot (\rho v) = Q - L - n \cdot \nabla P$$~~

$$\frac{\partial}{\partial t} + \nabla \cdot (\rho v)$$

~~$$= \rho \frac{\partial V}{\partial t} + \rho n \cdot \nabla V + \nabla \cdot (\rho v) = \frac{\partial}{\partial t} (\rho V) - V \frac{\partial \rho}{\partial t} +$$~~

~~$$+ \rho n \cdot \nabla V + \nabla \cdot (\rho v) = \frac{\partial}{\partial t} (\rho V) + V \cancel{\frac{\partial \rho}{\partial t}} +$$~~

~~$$+ \rho n \cdot \nabla V + \nabla \cdot (\rho v) =$$~~

~~$$= \frac{\partial}{\partial t} (\rho V) + \nabla \cdot (V \rho n) - \cancel{\rho n \cdot \nabla V} + \cancel{\rho n \cdot \nabla V} + \nabla \cdot (\rho v) =$$~~

~~$$= \frac{\partial}{\partial t} (\rho V) + \nabla \cdot (V \rho n + \rho v) = \frac{\partial}{\partial t} (\rho V) + \nabla \cdot \left[n \left(\frac{\partial}{\partial t} \rho + P \right) \right] =$$~~

~~$$= \frac{\partial}{\partial t} (\rho V) + \nabla \cdot \left[n \left(\frac{P \beta}{(\gamma-1)\rho} + P \right) \right] = \frac{\partial}{\partial t} (\rho V) + \nabla \cdot \left[n \frac{P \beta}{\gamma-1} \right]$$~~

Tedy celková

$$\frac{\partial}{\partial t} (\rho V) + \nabla \cdot \left(\frac{n}{\gamma-1} P \right) = -n \cdot \nabla P + Q - L$$

seřist a rovnat MHD

$$\Rightarrow \frac{\partial}{\partial t} \left(\rho V + \frac{\rho n^2}{2} + \frac{B^2}{2\mu} \right) + \nabla \cdot \left(\frac{\rho n^2}{2} \mathbf{r} + \frac{n}{\gamma-1} \mathbf{P} + \frac{1}{\mu} \mathbf{E} \times \mathbf{B} \right) =$$

$$= Q - \frac{1}{\rho} \frac{\partial \rho}{\partial t} - L$$

pro rovnováhu: $Q = \frac{1}{\rho} \frac{\partial \rho}{\partial t} \rightarrow$ ohřívání/ohlazování systému
(izolovaný systém)
 $L \dots$ ztráty zahraniční

\Rightarrow nezávratná lze dívat $\frac{B^2}{2\mu}$ se dlejte ohlazování systému

nezávratná lze \rightarrow volna' energie

pr. konzentrace dissipace skeny a korbu

$$B \approx 1000 G = 0,1 T$$

$$V \approx (10 \times 10 \times 10) \text{ m}^3 = 10^8 \text{ m}^3$$

$$\Rightarrow E_{\text{kin}} = \frac{B^2}{2\mu_0} V = \frac{0,1^2}{2 \cdot 10^{-6}} \cdot 10^8 \text{ J} \approx \underline{\underline{4 \times 10^{21} \text{ J}}}$$

o mnoho větší mimožemné pozorce
⇒ menší možná silnější dissipace

[Explozivní vs. nereplazivní dissipace] - část 2

joulový repre = nereplazivní

$$\text{odhad: } t_j = \frac{B^2 / 2\mu_0}{j^2 / \sigma}$$

$$j = \mu_0 \Delta \times B \sim \frac{1}{\mu_0} \frac{B}{L}$$

$$\Rightarrow t_j = \frac{B^2 / 2\mu_0}{B^2 / \mu_0 L^2 \sigma} = \frac{\mu_0 L^2 \sigma}{2}$$

$$\text{difuzní prů: } \frac{\partial B}{\partial t} = \frac{1}{\mu_0 \sigma} \Delta B; \quad \frac{B}{t_{\text{diff}}} \sim \frac{1}{\mu_0 \sigma} \frac{B^2}{L^2}$$

jednor
2. vlnění

$$\Rightarrow t_{\text{diff}} \sim \mu_0 \sigma L^2$$

$$\text{difuzivita: } h = \frac{1}{\mu_0 \sigma}$$

$$\Rightarrow t_j \sim \frac{L^2}{h}$$

$$\text{druhov: } \varepsilon \sim 10^7 \frac{\text{am}^2}{\text{s}}$$

$$\text{kouzlo: } q \sim 3 \times 10^5 \frac{\text{am}^2}{\text{s}}$$

$$\text{dynamický čas} \quad t_d \approx \frac{L}{v} \quad \begin{array}{l} \text{magnetický Reynoldsova číslo} \\ \rightarrow \text{efekt adiabatické magnetické pole} \\ \text{při difuzi} \end{array}$$
$$t_j = \frac{L^2}{q} = \frac{(L/\tau)}{(\tau/v)} = R_H t_d$$

pro $R_H \gg 1$ je $t_j \gg t_d \Rightarrow$ n. dynamickým procesu
difuzní vlny vlny dissipace rovn

dynamický průs: $N \approx C_A \sim 10^6 \text{ m}^{-3}$

$$\Rightarrow t_j = \frac{L^2}{q} = \frac{L C_A}{q} \frac{L}{C_A} = N_L \frac{L}{C_A} = N_L t_A + \text{affinenz das}$$

vysoké $N_L \Rightarrow$ vysoké rodové plátna
malé $N_L \Rightarrow$ rezistivní plátna

fundamentální
číslo

$\Rightarrow \beta =$

\Rightarrow char. čas re-explosivního diffuzního dynamického procesu = affinenovské výkloky

$$t_j = \frac{L N_c}{c_A}$$

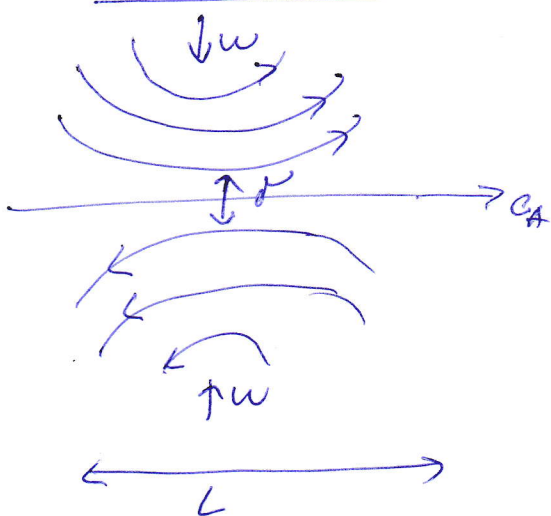
pro boron: $L \approx 10^7 \text{ cm}$, $c_A \approx 10^6 \text{ cm/s}$, $q \approx 10^3 \text{ cm}^{-3}$

$$N_c \approx 10^{14}, \frac{L}{c_A} \approx 10 \text{ s}$$

$$\Rightarrow t_j \approx 10^{15} \text{ s}$$

poněkam.

Sweet-Parker model rezonanční (Sweet-Parker)



antiparalelní pole sférická
je rovno π dle L

plasma vytlačované mezi
antiparalelními poli

$\hookrightarrow \nabla B$ roste do výškově
stabilního stanu

rovnice konzervace: $\sqrt{\omega L} = c_A \delta y$

~~nebo konzervace energie nebo konzervace~~

$\Rightarrow \omega = \frac{c_A \delta y}{L}$

$\Rightarrow \delta y = \sqrt{\frac{c_A \delta y}{\omega}}$

$\Rightarrow \delta y = \sqrt{\frac{c_A \delta y}{\omega}} = \sqrt{\frac{c_A \delta y}{c_A L / \epsilon_0}} = \sqrt{\frac{\epsilon_0}{L}} \delta y$

$N_L = \frac{c_A L}{\epsilon_0}$

Resonanční plazma

oblasti

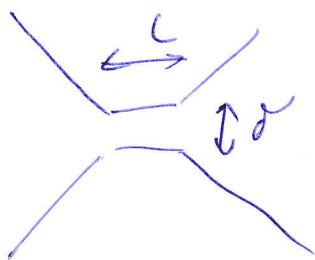
\Rightarrow rychlosť rezonanční (na str. 56)

$$t_s = \frac{L}{\omega} = \frac{L \sqrt{N_L}}{c_A} \quad \dots \quad \text{pro boron a piketon}$$

válce: $t_s \approx 10^5 \text{ s}$

Pechinský model

$t_p \sim L$... stránčení L se potřít myčkou



Expresně:

$$t_p \sim \frac{L \ln N_e}{c_A}$$

pro konkr. $t_p \sim 300s$

dvojice n. kružnic vlnách (procedových vlnách)

Defor. mng. polí přidává rotaci energie

$\rightarrow \Delta B \rightarrow$ procedové vlny

anomální rezonance — význam elektronů n. myčkových plazmových vln

\rightarrow další stránčení dvojicí vln

dam

Magnetočinné dálkové strukturodynamické pole

≈ 10

$$\frac{d\mathbf{v}}{dt} = \frac{d^2\mathbf{x}}{dt^2} = \frac{q}{m} \mathbf{E}(\mathbf{x}, t)$$

$$\text{fázové pole } \mathbf{x} = \mathbf{x}(t)$$

$$\frac{d^2\mathbf{x}}{dt^2} = \frac{q}{m} \mathbf{E}(\mathbf{x}(t), t)$$

stále pole: n. magnetické E-pole

$$\mathbf{x} = \mathbf{x}_0 + \mathbf{v}_0 t + \mathbf{x}^I(t) + \mathbf{x}''(t) + \dots$$

✓ je podlzeckých polynomů

$$\Rightarrow \text{pr. opay. } \mathbf{x}^I = \frac{q}{m} \mathbf{E}(\mathbf{x}_0 + \mathbf{v}_0 t, t)$$

E-pole je svou naturou, a má následnou formu a délku

$$\langle \mathbf{E}(\mathbf{x}, t) \cdot \mathbf{E}(\mathbf{x} + \xi, t + \tau) \rangle = \langle \mathbf{E}^2 \rangle \underbrace{\mathcal{R}(\xi, \tau)}_{\text{koulací funkce}}$$

\Rightarrow pierwsza rozdzielcość na czas t do przekształcań

$$\Delta \dot{X}^I = \dot{X}^I(t) - \dot{X}^I(0) = \frac{q}{m} \int_0^t dt' E(x_0 + v_0 t', t')$$

skorzystajemy:

$$\begin{aligned} \langle (\Delta \dot{X}^I)^2 \rangle &= \frac{q^2}{m^2} \int_0^t dt' \int_0^t dt'' \langle E(x_0 + v_0 t', t') E(x_0 + v_0 t'', t'') \rangle = \\ &= \frac{q^2}{m^2} \int_0^t dt' \int_0^t dt'' \langle E^2 \rangle R(vt, t) \\ &\quad \text{for } t = t'' - t' \end{aligned}$$

$$\Rightarrow \left\langle \frac{(\Delta v)^2}{dt} \right\rangle = \frac{q^2}{m^2} \langle E^2 \rangle \int dt R(vt, t) \quad \begin{matrix} \text{potok} & t \rightarrow \text{między koniec} \\ & \text{das} \end{matrix}$$

\hookrightarrow czerw dyfrakcyjny & rozkładu energii w przestrzeni
a także średnia wartość energii i w stochastycznych
zależnościach

Siever-Parker (II)

przewodząca strona j:

$$j = \frac{1}{\mu} \nabla \times B \approx \frac{B}{\mu \sigma}$$

energetyczna strona: $\vec{j} = q j^2 =$ (Joulów okresu)

$$= \epsilon \frac{B^2}{\mu^2 \sigma^2}$$

zauważ połowa (termodynam.) na czas. staci $t_{st} = \frac{L}{C_A}$,

kiedy ją balansowana jest w polu (fakt termodynam. energie była odebrane)

$$V \approx V_{t_{st}} = \frac{B^2}{2\mu} = \epsilon \frac{B^2}{\mu^2 \sigma^2} \frac{L}{C_A} \quad \text{mag. polo}$$

$$\Rightarrow \delta = \sqrt{\frac{2\epsilon L}{\mu C_A}} \approx \sqrt{\frac{\epsilon C_A}{L}}$$

z ujemną gęstością

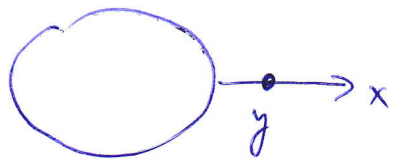
$$\Rightarrow w = \frac{\delta}{L C_A} \approx \frac{\sqrt{\epsilon C_A}}{L C_A} = \sqrt{\frac{\epsilon L \cdot C_A^2}{L^2}} = \sqrt{\frac{\epsilon C_A}{L}} \quad \begin{matrix} \text{gęstość} \\ \text{wewnętrzna} \end{matrix}$$

$$\text{zas. pd} \quad t_s = \frac{L}{\omega} = \frac{L \sqrt{N_e}}{C_A}$$

$$= \frac{C_A}{\sqrt{N_e}} \quad N_e = \frac{C_A L}{\epsilon}$$

Korona

→ jak mać mierówkę z pozorowaniami?



$y \perp x$, $y \parallel b.s.$

stądże symetryczna korona, E_k ... emisja
w objętości i mierówka średnia

$$j^2 = \left(\frac{r}{R_0}\right)^2 = x^2 + y^2 \rightarrow j \mathrm{d}j = y \mathrm{d}y = \sqrt{y^2 - x^2} (\mathrm{d}y)$$

pozorowania' intensywnie:

$$I(x) = \int_{-\infty}^{\infty} E_k(j) \mathrm{d}j = 2 \int_0^{\infty} E_k(j) \mathrm{d}j = 2 \int_0^{\infty} \frac{j E_k(j)}{\sqrt{j^2 - x^2}} \mathrm{d}j$$

E_k niesymetria, tedy tutaj invertezja

- nie analtyczny: inwersja' Abela'wa transformacji

$$\Rightarrow E_k(j) = -\frac{1}{\pi} \int_j^{\infty} \frac{\mathrm{d}I/\mathrm{d}x}{\sqrt{x^2 - j^2}} \mathrm{d}x$$

ansatz: intensywnie i k. koronie je k. k. równoważne

następuje na elektronach

$$\Rightarrow E_k(j) = \sigma_T \cdot n_e \frac{1}{4\pi} \int I_0(s) \mathrm{d}s$$

$$\mathrm{d}s = r \mathrm{d}r \mathrm{d}\theta \mathrm{d}\phi$$

pozorowania' nie jest, np. nadaw.

$$n_e(j) = n_{e0} \left(\frac{1,17}{j^6} + \frac{3,99}{j^{16}} \right), n_{e0} = 10^{14} \text{ m}^{-3}$$

krzyż' odchód pr. $j \sim R_0$

$$E_k \sim \sigma_T n_e R_0 I_0; E_k(R_0) \sim 10^{-6} I_0$$

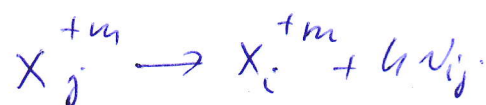
$$\Rightarrow n_e \sim \frac{E_k(R_0)}{\sigma_T R_0 I_0} \sim 4 \times 10^{13} \text{ m}^{-3}$$

Emissi' kordua

→ zemného v RTG oblasti

- bradue' záření + bound-free přechody

vezmeme: emisní odka $(n-1)$ -krok ionizovaného
atomu X^{+n} , n něm přísluší z $j \rightarrow i$ elektronovou
bladnu



$$\text{emisnata, } P_n = \underbrace{N_j(X^{+n})}_{\text{místota}} \underbrace{A_{ji} h\nu_{ij}}_{\text{Emisnino koeficient}} \underbrace{\psi_n}_{\substack{\text{emisní profil} \\ \int \psi_n dV = 1}}$$

Kontinuální approximace, bladna j populována se
základními stavmi sítí s elektry, depopulována
do místních stavů

proton Emisnata

$$P_{gji} = \underbrace{A_x}_{\text{relativní zastoupení } X \text{ v růži rodku}} G(T, \lambda_{gji}) \frac{hc}{\lambda_{gji}} N_e^2$$

pozopečitelnost funkce

elektronova místota

q.

Ačka m. vzdalenosti R

$$F(\lambda_{gji}) = \frac{1}{4\pi R^2} \int_V P_{gji} dV = \frac{1}{4\pi R^2} A_x \int G(T, \lambda_{gji}) \frac{hc}{\lambda_{gji}} N_e^2 dV =$$

$$= \frac{1}{4\pi R^2} A_x \int G(T, \lambda_{gji}) \frac{hc}{\lambda_{gji}} Q(T) dT$$

$$N_e^2 dV = \underbrace{Q(T) dT}_{\text{diferenciální mísia místota (DEM)}}$$

diferenciální mísia
místota (DEM)

DEM - mísia místota neobsahuje emisníci
plazmatu jeho řešení neplatí

k DEM, n 1-D je $EM = \int N_e^2 dz$

$$EM = \int N_e^2 dz = \int N_e^2 \cancel{dz} \frac{\partial z}{\partial T} dT = \int N_e^2 \left(\frac{\partial z}{\partial T} \right)^{-1} dT$$

DEM = Q(T)

$$N_e^2 dV = \underbrace{N_e dV}_{\substack{\text{počet volných} \\ \text{elektronů}}} \underbrace{N_e}_{\substack{\text{el. hustota}}}$$

exponent do výšky mědějí snažecov
tedy intenzita emise daná na hodnotu
snažecové závislosti

pro aktuální

$$L = 4\pi R^2 F(\Delta_{jj}) = \int N_e^2 P(T) dV = \int Q(T) P(T) dT$$

$$P(T) = A \times \sigma(T, \Delta_{jj}) \frac{hc}{\Delta_{jj}}$$

\hookrightarrow závislost slunce \rightarrow pouze funkce T

$L \sim N_e^2 \Rightarrow$ gas horony násilí nad alelnicemi
oblastem koule násilí Ne, ve kouli
Aejekt

Chmicečí náhrada

Chapmanova teorie hydrostatické horony
 \rightarrow poskytuje energetickou a vedeníkovou rovnováhu
hydrostatických tlaků

$$F = -x_u \nabla T, \nabla \cdot F = 0$$

$\textcircled{x}_u = x_0 T^{5/2} \leftarrow \text{miten}$

ne sfinančuje vedeníkovou:

$$dW (-x_u \nabla T) = 0 \Rightarrow \frac{d}{dr} \left(r^2 \textcircled{x}_u \frac{dT}{dr} \right) = 0$$

integrace: $r^2 x_0 \frac{dT}{dr} = C$

$$\text{prvnořešitelná: } \frac{2}{7} \frac{d}{dr} (T^{7/2}) = \frac{C}{r^2}$$

$$\text{integruj: } T^{7/2} = - \frac{\tilde{C}}{R_0 r} + \tilde{D}$$

\tilde{C} a \tilde{D} z obrazové: $T=T_0 \Leftrightarrow r=R_0$

$$\Rightarrow \tilde{D}=0, \quad \tilde{C} = - \frac{T_0^{7/2}}{R_0} \quad T \rightarrow 0 \leftarrow r \rightarrow \infty$$

$$\text{tedy něž: } T=T_0 \left(\frac{R_0}{r} \right)^{2/7}$$

$$\text{pro } T_0=10^\circ\text{C} \Rightarrow r=r=1\text{AU}=2\pi R_0$$

$$T=10^\circ\text{K}$$

(vzhledem k pozorování, ale v tabulce 0K)

ale hydrostatická pravda

$$\frac{dp}{dr} = - \frac{GM_0 P}{r^2} \quad | P=\rho RT$$

$$\Rightarrow p=p_0 \exp \left\{ \frac{7GM_0 \rho_0}{5P_0 R_0} \left[\left(\frac{R_0}{r} \right)^{5/7} - 1 \right] \right\}$$

p_0 & P_0 ... výpočet

pro $r \rightarrow \infty, P \rightarrow \infty \Rightarrow$ něž fyzikální

$$\begin{aligned} \frac{dp}{dr} &= - \frac{GM_0 P}{r^2 RT} = - \frac{GM_0 P r^{-7/7} R_0^{2/7}}{RT_0 r^2} = \\ &= - \frac{GM_0 R_0^{2/7}}{RT_0} P r^{-\frac{12}{7}} \end{aligned}$$

$$\text{tedy } \ln p = - \frac{GM_0 R_0^{2/7}}{RT_0} r^{-5/7} + \text{kost} \Rightarrow$$

tedy problém \rightarrow Parkova teorie slunečního vlivu